

Penumbuhan Film Tipis Semikonduktor Ferromagnetik GaN:Mn Menggunakan Metode *Plasma Assisted Metal Organic Chemical Vapor Deposition (PA-MOCVD)*

Oleh
Budi Mulyanti
30201015

Tim Pembimbing
Dr. Sukirno
Prof. Dr. M. Barmawi
Dr. Pepen Arifin
Dr. Maman Budiman

OUTLINE

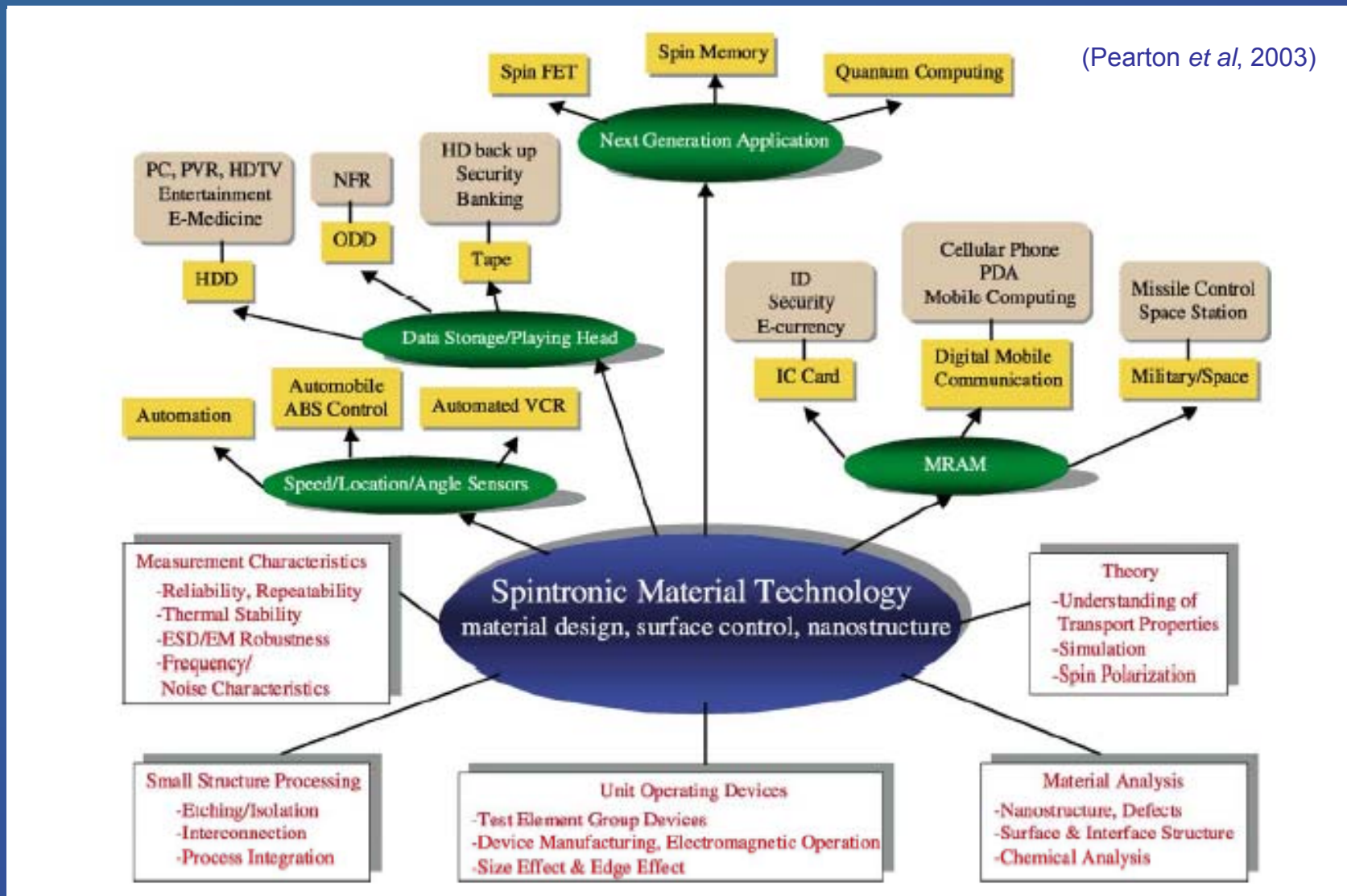
- Pendahuluan
 - Divais spintronik
 - Material DMS
 - GaN:Mn
 - Sistem PA-MOCVD
 - Tujuan dan ruang lingkup penelitian
- Penumbuhan GaN:Mn
- Karakterisasi
 - Sifat struktur & morfologi permukaan film
 - Sifat magnetik
 - Sifat listrik dan optik
- Kesimpulan & saran
- Hal baru/kontribusi ilmiah
- Publikasi ilmiah

PENDAHULUAN

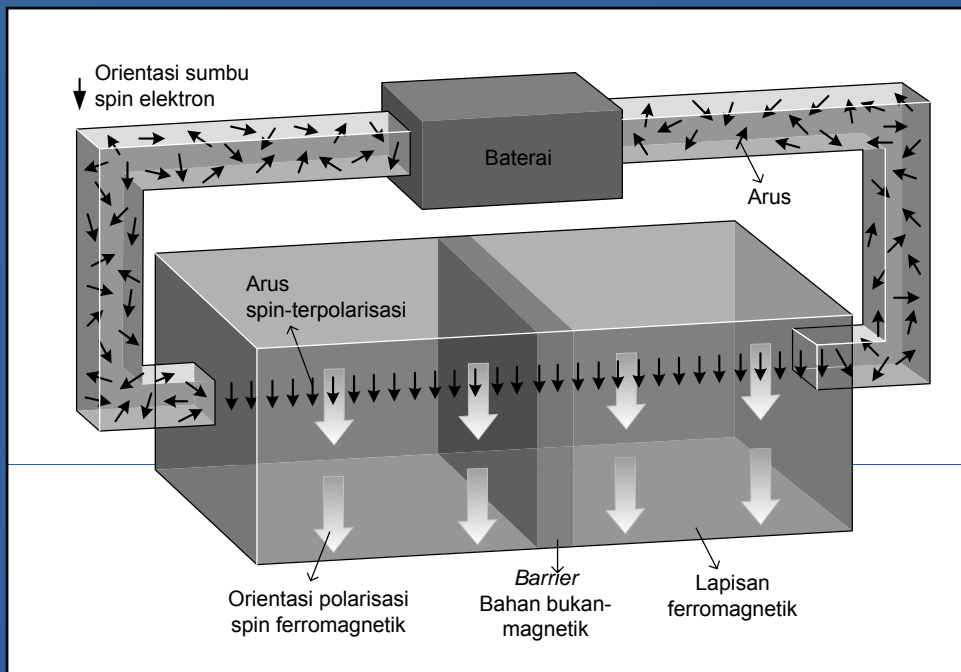
SPINTRONIK

- Perkembangan teknologi informasi
→ industri SK dan penyimpanan data magnetik
- Perkembangan industri SK:
 - divais elektronik → mempercepat laju pemrosesan data
→ memperkecil ukuran divais
 - divais optoelektronik, mis LED
→ keunggulan memiliki waktu hidup lebih panjang
- Perkembangan teknologi penyimpanan data
→ keunggulan sifat *NON VOLATILE*
- Dalam upaya penggabungan keunggulan ketiga bidang
→ divais SPINTRONIK

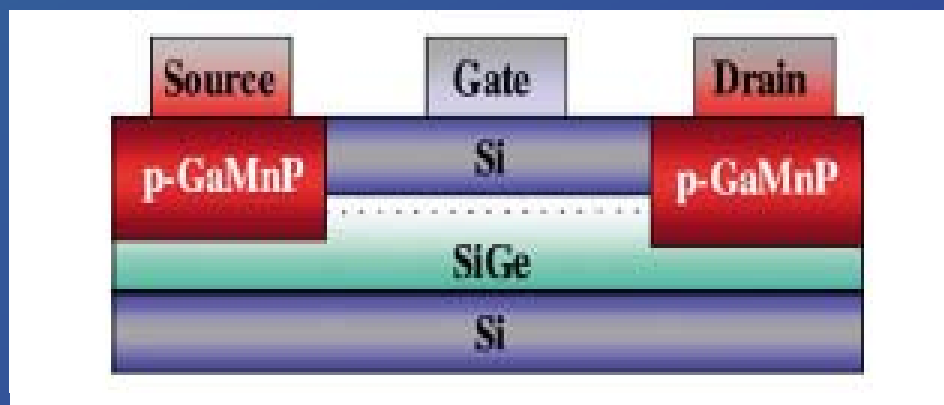
ROAD MAP DIVAIS SPINTRONIK



CONTOH DIVAIS SPINTRONIK



← *magnetik tunnel junction (MTJ)*



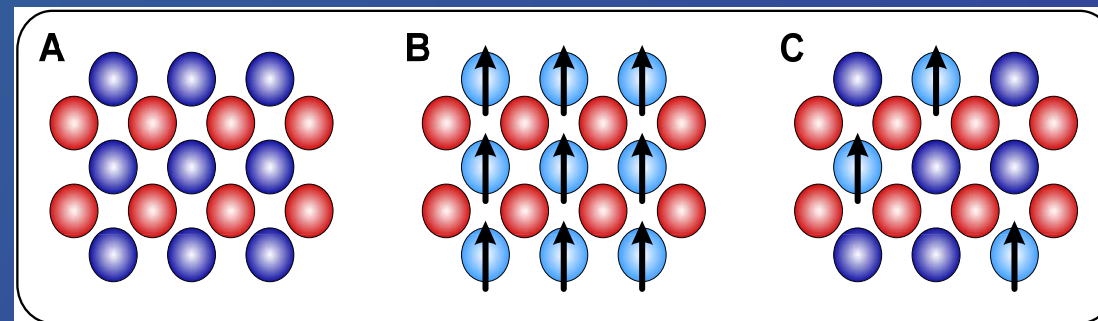
← *Spin-FET konfigurasi Datta-Das*

MENGAPA DMS?

Kebutuhan DMS (*diluted magnetic semiconductor*) dipicu oleh rendahnya efisiensi injeksi spin dari logam FM ke lapisan semikonduktor,

Contoh: Ni, efisiensi 0,05 % (Schmidt, 2001)

DMS: Semikonduktor yang diberi doping ion-ion magnetik.
Ion magnetik dopan → menyebabkan adanya momen magnetik spin



Semikonduktor

Semikonduktor
magnetik

DMS

SYARAT DMS UNTUK SPINTRONIK

- ❖ $T_c \geq RT$
- ❖ Memiliki sifat listrik dan optik yang cocok dengan material induk
- ❖ Teknologi material induk → telah dikembangkan untuk aplikasi yang lain
Contoh: GaAs → LED infra merah,
high speed digital electronics
InAs → sensor magnetik
GaN → laser diode warna hijau, detektor UV
- ❖ Efisiensi injeksi spin yang tinggi (Reed, 2003, Pearton, dkk., 2003)

KANDIDAT MATERIAL DMS

DMS berbasis III-V:Mn, seperti GaAs:Mn dan InAs:Mn → memiliki $T_c <<$ temperatur kamar

→ GaN:Mn

Mengapa GaN:Mn?

- ❖ Teknologi material induk GaN telah *established* [Pearton, dkk., 2003]
- ❖ Model *Mean – field* → memprediksi GaN:Mn, $T_c > RT$ [Dietl, dkk, 2000]
- ❖ Berdasarkan perhitungan perbedaan energi → kestabilan FM GaN:Mn
[Sato dan Katayama-Yoshida, 2001]
- ❖ Bersifat *half metallic* → ideal untuk injeksi spin [Kronik, dkk, 2002 dan Jain, dkk, 2002]
- ❖ Mn adalah dopan yang paling ideal → menghasilkan momen sampai 4 Bohr magneton [Ohno, dkk, 1992]

PERKEMBANGAN PENUMBUHAN GaN:Mn

| METODE, T_g ($^{\circ}$ C) | % Mn | T_c (K) | REFERENSI |
|---|----------------------------|-----------|--|
| Sintesa <i>alloy</i> Ga/Mn 1200-1250 | 0,5 kristal <i>bulk</i> | 2-300 | Szyszko, dkk., 2001 Zajak, dkk., 2003 |
| Ion implantation | $5 \times 10^{16} /cm^2$ | ~250 | Theodoropoulo, dkk., 2001 |
| MBE, 865 | 7,0 | ~25 | Overberg, dkk., 2001 |
| GS MBE, 700-925 | 3,5 -9,0 | ~300 | Overberg, dkk., 2002 |
| MBE, 700 -750 | 3,0-12,0 | ~300 | Thaler, dkk., 2002 Thaler, 2004 |

Dengan MBE dapat menghasilkan kristal tunggal dengan konsentrasi Mn tinggi, NAMUN memiliki kendala: biaya operasional yang tinggi

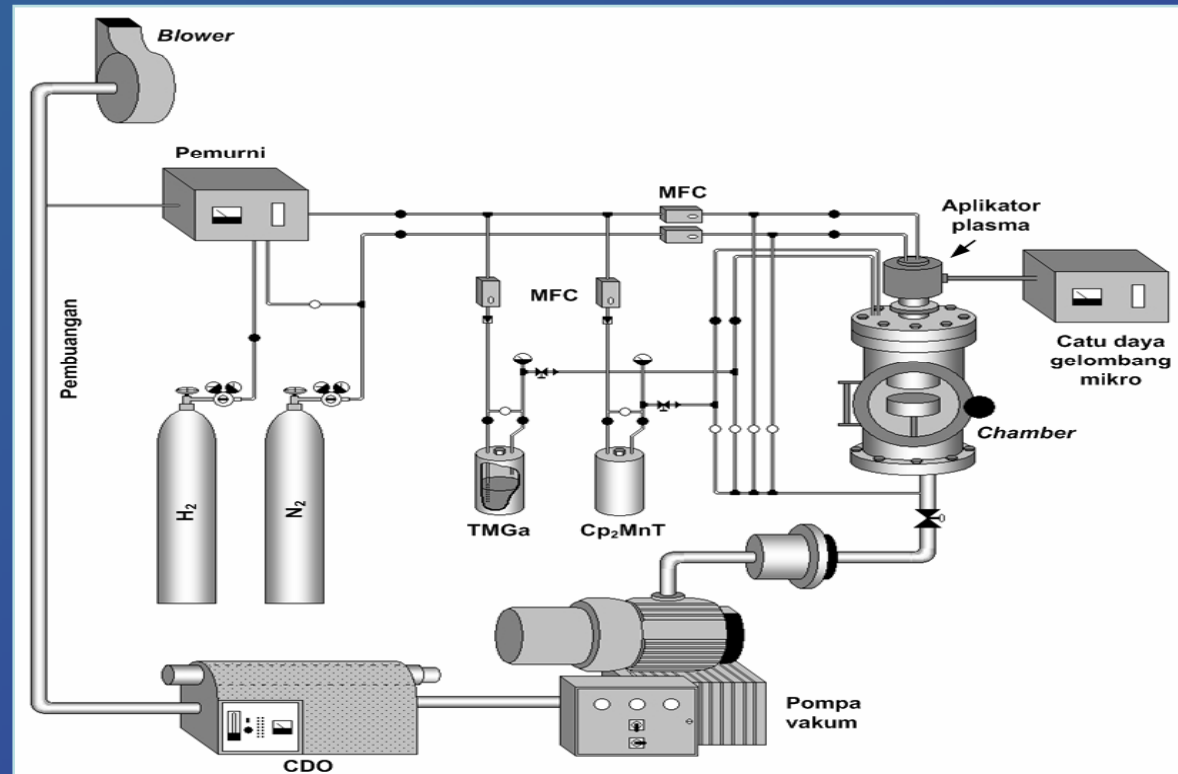
PERKEMBANGAN PENUMBUHAN MOCVD-GaN:Mn

| Tg(°C) | SUMBER | % Mn | T_c (K) | REFERENSI |
|----------|------------------------|----------|----------------|------------------------|
| 1060 | TCM | | Semi insulator | Korotkov, dkk., 2002 |
| 850-1040 | (EtCp) ₂ Mn | 0,6 -2,3 | 228 – 520 | Reed, 2003 |
| 900-1050 | (Cp) ₂ Mn | 1,2-1,5 | ~300 | Kane, dkk., 2005 |
| | | | Semi insulator | |
| 900-1050 | (Cp) ₂ Mn | 1,2-1,5 | ~300 | Strassburg, dkk., 2005 |

Semuanya memiliki kelemahan : T_g yang tinggi

T_g yang tinggi → sulit mengontrol atom-atom nitrogen → muncul fase kedua
→ tidak cocok untuk aplikasi divais *multilayer*

MENGAPA PA-MOCVD?



Reaktor PA-MOCVD → MOCVD dengan aplikator plasma
→ menghasilkan nitrogen radikal → menurunkan T_a

TUJUAN PENELITIAN

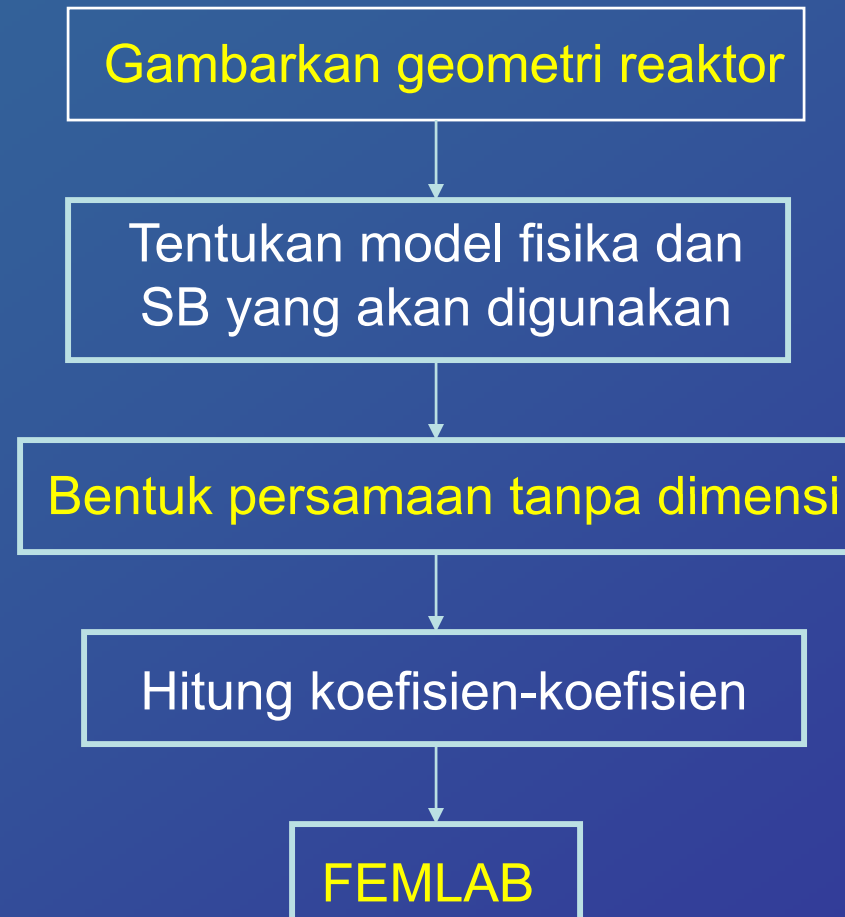
1. Menghasilkan metode penumbuhan untuk memperoleh film tipis GaN:Mn yang memiliki karakteristik yang tepat untuk aplikasi divais spintronik.
2. Memahami kaitan antara temperatur penumbuhan dan konsentrasi Mn dengan sifat magnetik GaN:Mn.
3. Menghasilkan film tipis GaN:Mn yang homogen dan memiliki sifat-sifat listrik dan optik yang sesuai dengan semikonduktor GaN.

RUANG LINGKUP DAN BATAS PENELITIAN

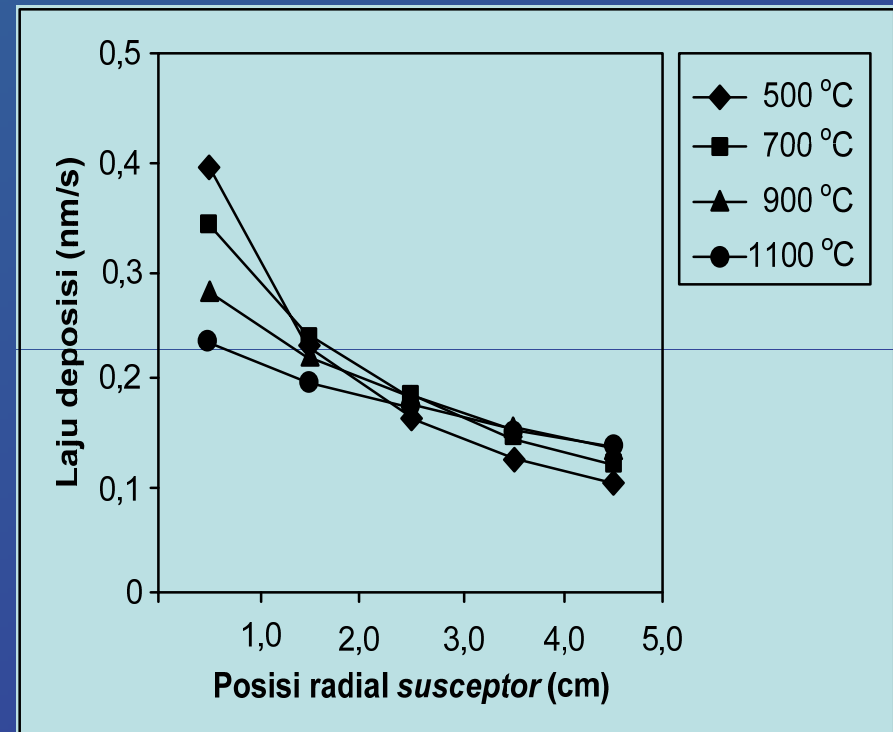
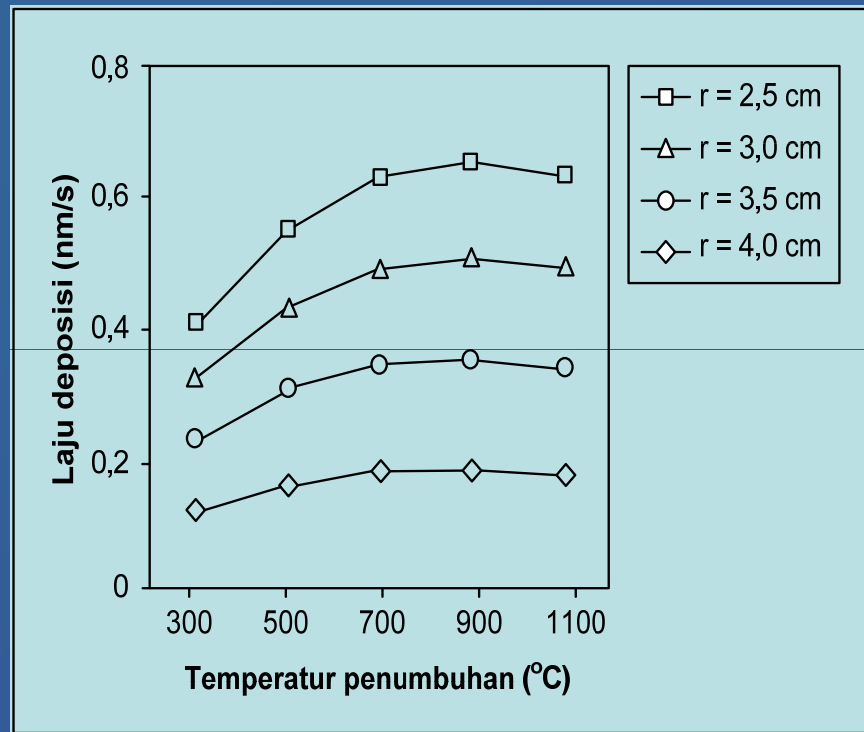
1. Simulasi penumbuhan GaN:Mn dengan metode MOCVD
2. Penumbuhan film tipis GaN:Mn dengan metode PA-MOCVD di atas safir (0001), sumber:
 - TMGa
 - gas nitrogen UHP
 - CpMnT
3. Karakterisasi film tipis GaN:Mn
 - komposisi atom dalam GaN:Mn → EDS
 - struktur dan orientasi film → XRD, HR-XRD
 - morfologi permukaan film → SEM dan AFM
 - sifat magnetik → VSM
 - sifat listrik → metode Hall-van der Pauw
 - sifat optik → UV Vis

Simulasi Penumbuhan GaN:Mn

LANGKAH SIMULASI



HASIL SIMULASI (1)



Ada 3 daerah temperatur penumbuhan sesuai teori Jones dan O'Brien (1997) dan Briot (1998)

HASIL SIMULASI (2)

| T_g (°C) | Laju penumbuhan (nm/s) pada $r = 3,5$ cm | Daerah kehomogenan (cm) |
|------------|--|-------------------------|
| 300 | 0,092 | - |
| 500 | 0,127 | - |
| 700 | 0,148 | - |
| 900 | 0,156 | 3,5 – 4,5 |
| 1100 | 0,153 | 3,5 – 4,5 |

Stringfellow (1988) :

Pada T_g rendah
→ sulit diperoleh daerah kehomogenan.

Pada T_g tinggi
→ daerah kehomogenan pada $r > 3$ cm.

Laju penumbuhan 0,153 nm/s (0,55 μ m/jam) pada $T_g = 1100$ °C & 0,156 nm/s (0,56 μ m/jam) pada $T_g = 900$ °C.

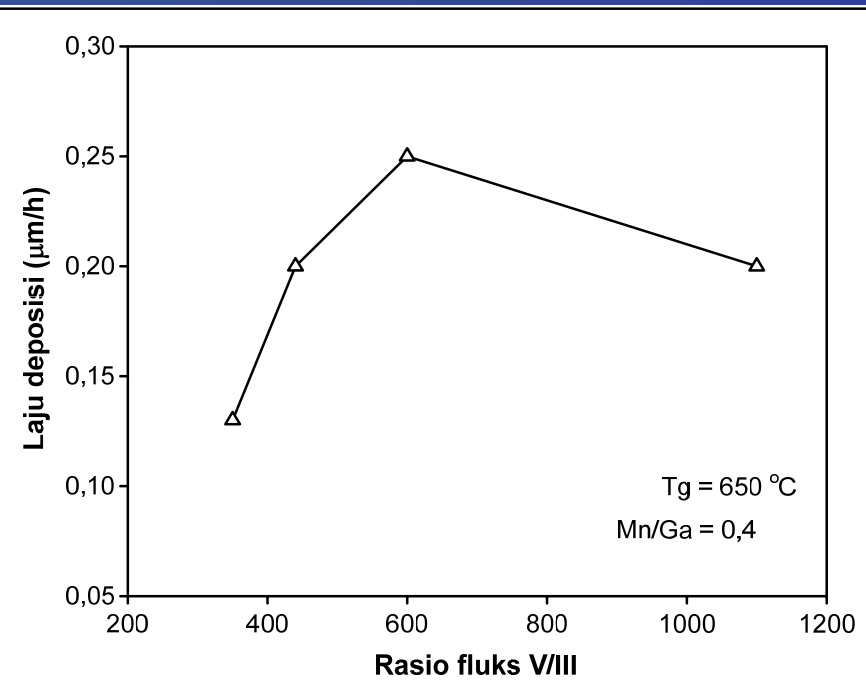
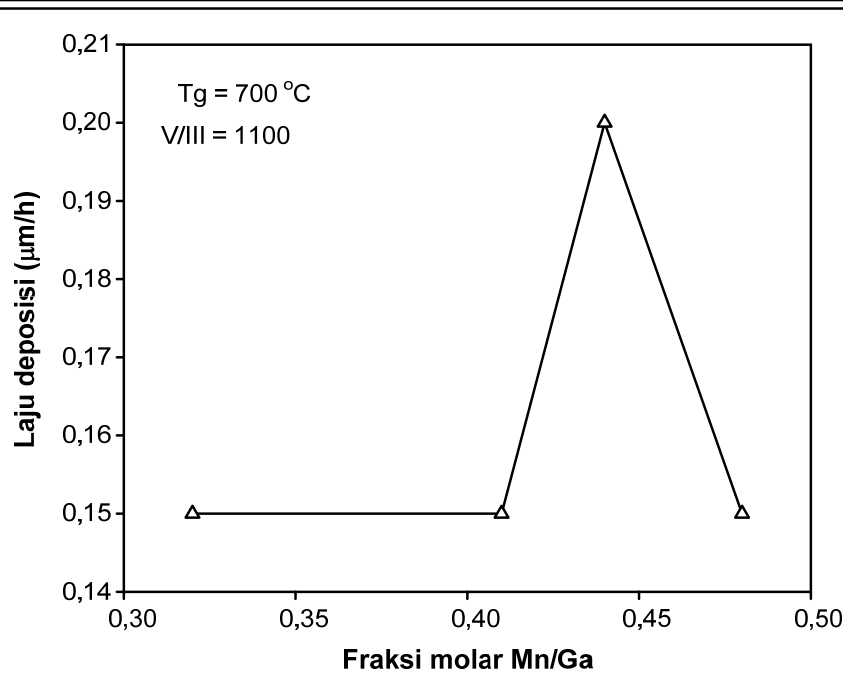
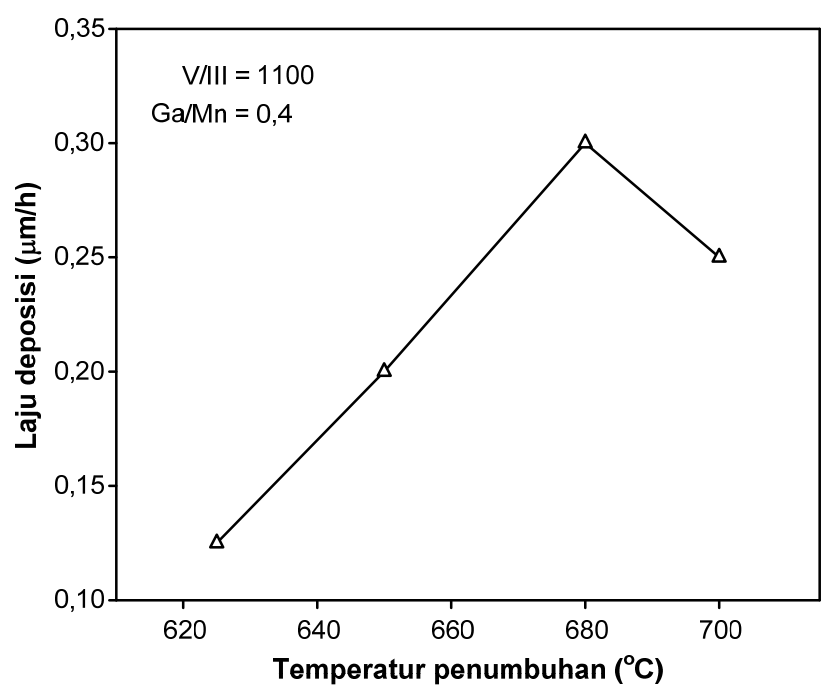
(Sesuai hasil eksperimen penumbuhan GaN dengan sumber TEGA)
pada $p = 76$ Torr, $T_g = 900$ °C → 1,1 μ m/jam)

PENUMBUHAN GaN:Mn

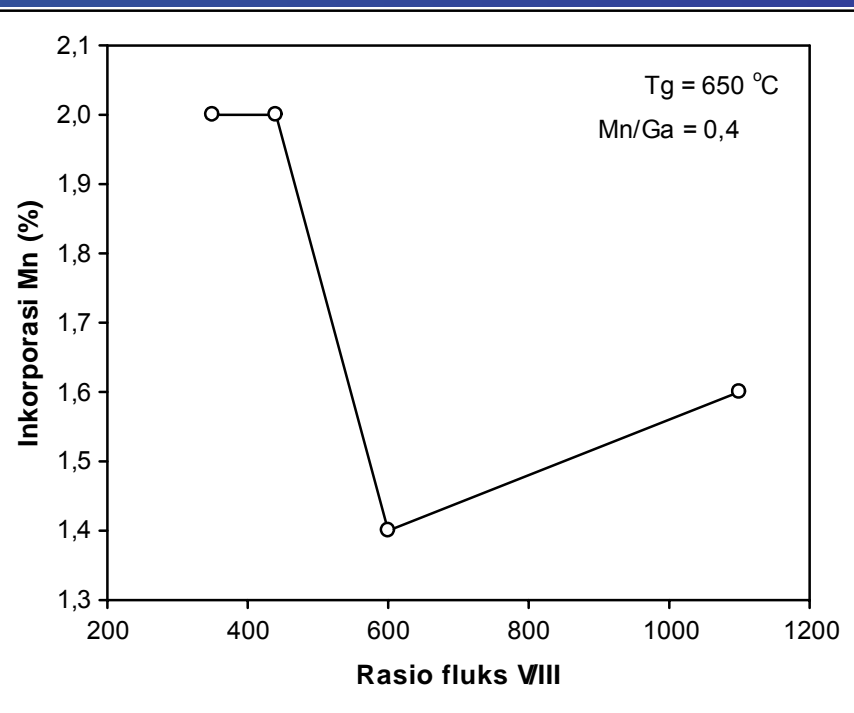
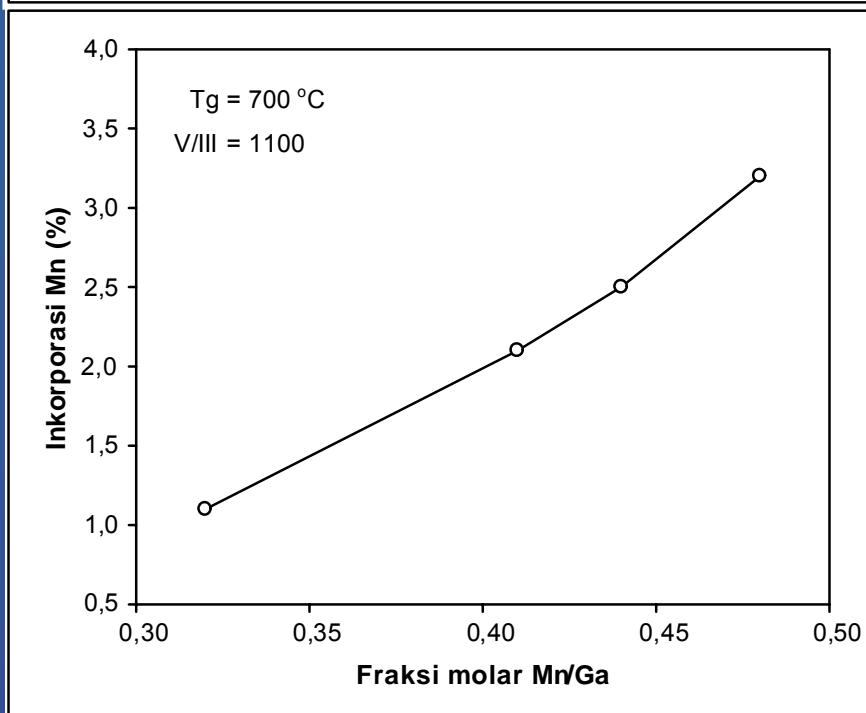
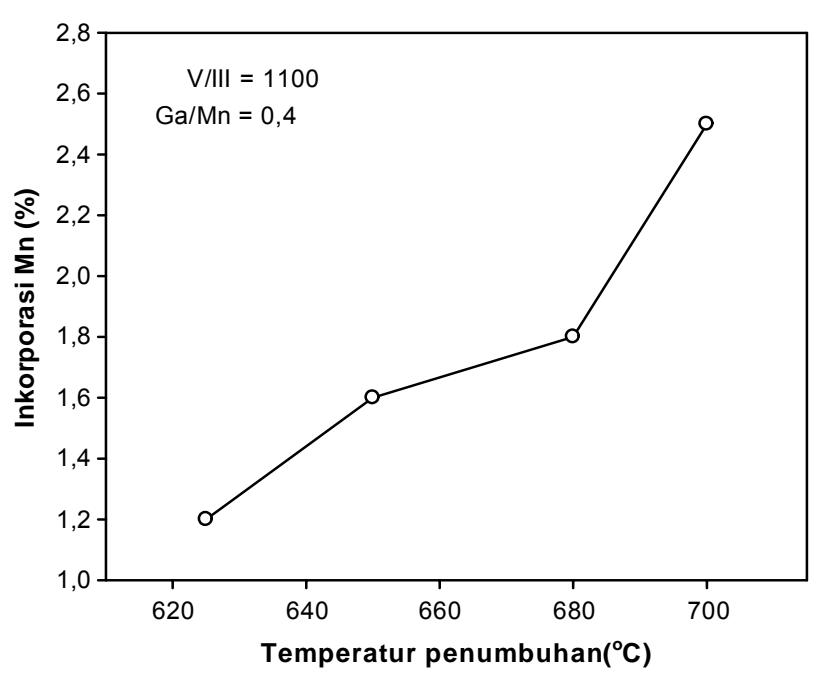
Parameter penumbuhan GaN:Mn

| | |
|---------------------------------|------------------|
| Temperatur penumbuhan | 625 - 700 °C |
| Tekanan reaktor | 0,03 - 0,05 Torr |
| Laju alir TMGa (-10 °C) | 0,06 - 0,19 sccm |
| Laju alir N ₂ | 70 - 120 sccm |
| Laju alir CpMnT | 0,02 - 0,06 sccm |
| Temperatur <i>bubbler</i> CpMnT | 27 - 50 °C |
| Daya plasma | 150 - 200 watt |
| Waktu penumbuhan | 1,5 - 2,0 jam |

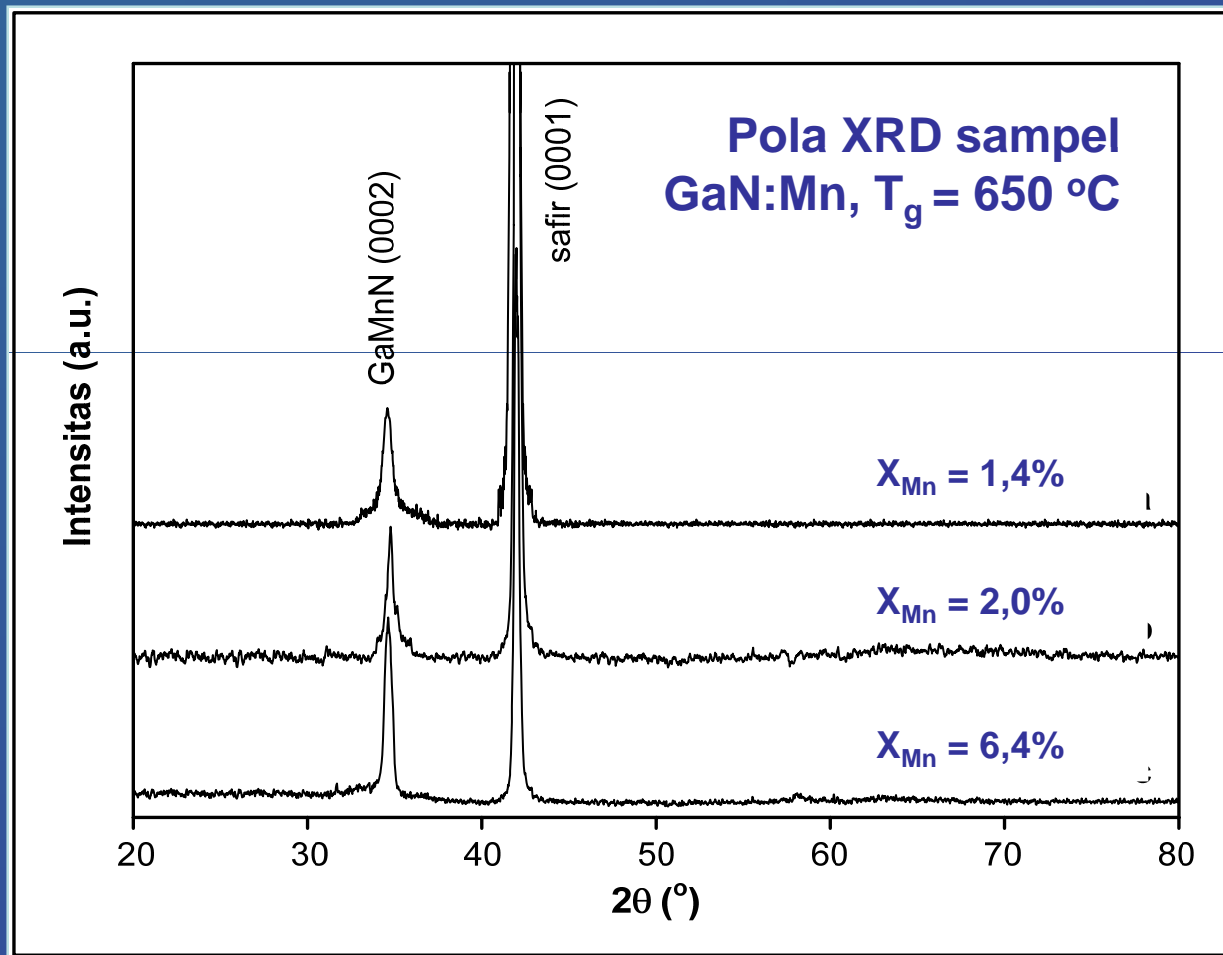
LAJU PENUMBUHAN GaN:Mn



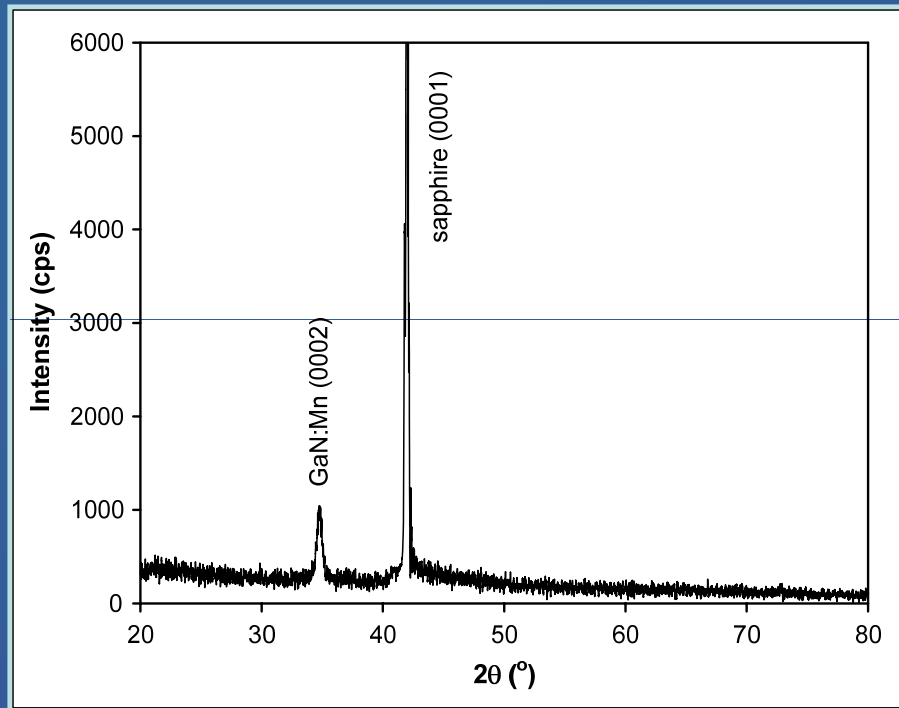
INKORPORASI Mn KE DALAM GaN:Mn



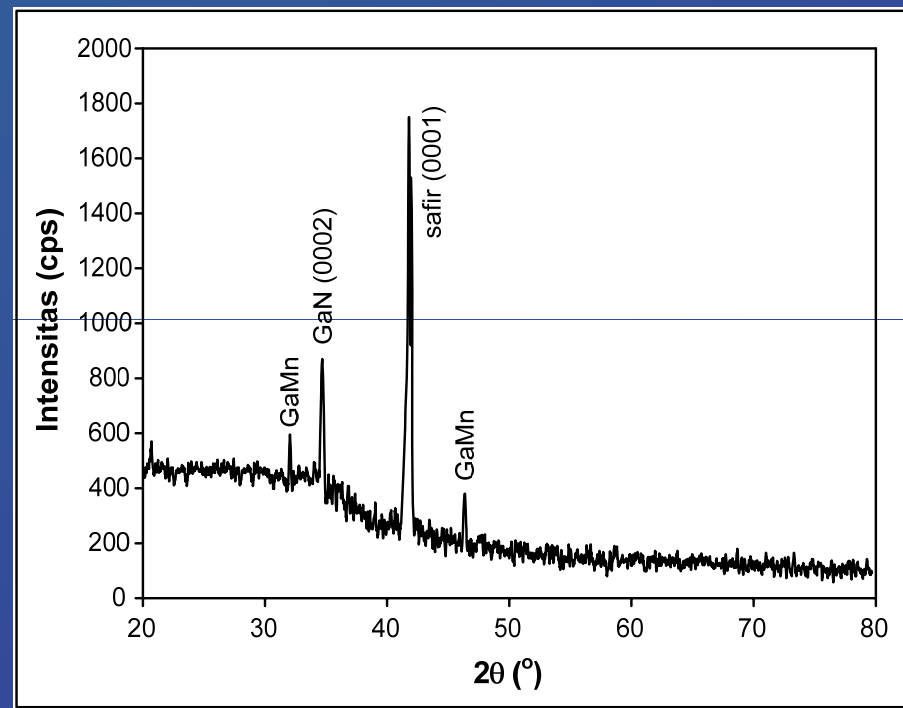
Sifat Struktur GaN:Mn (1)



Sifat Struktur GaN:Mn (2)

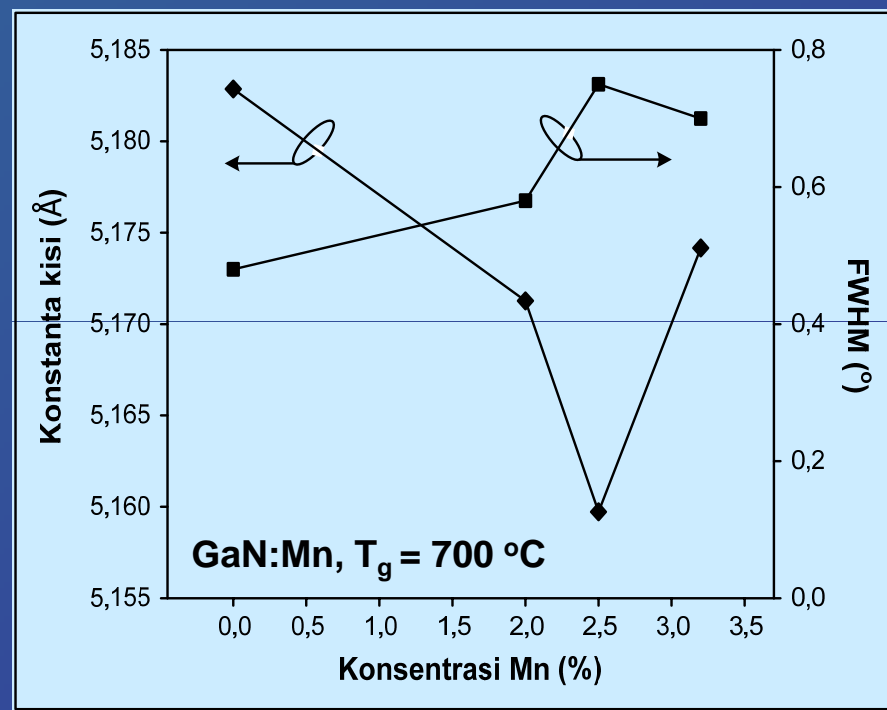
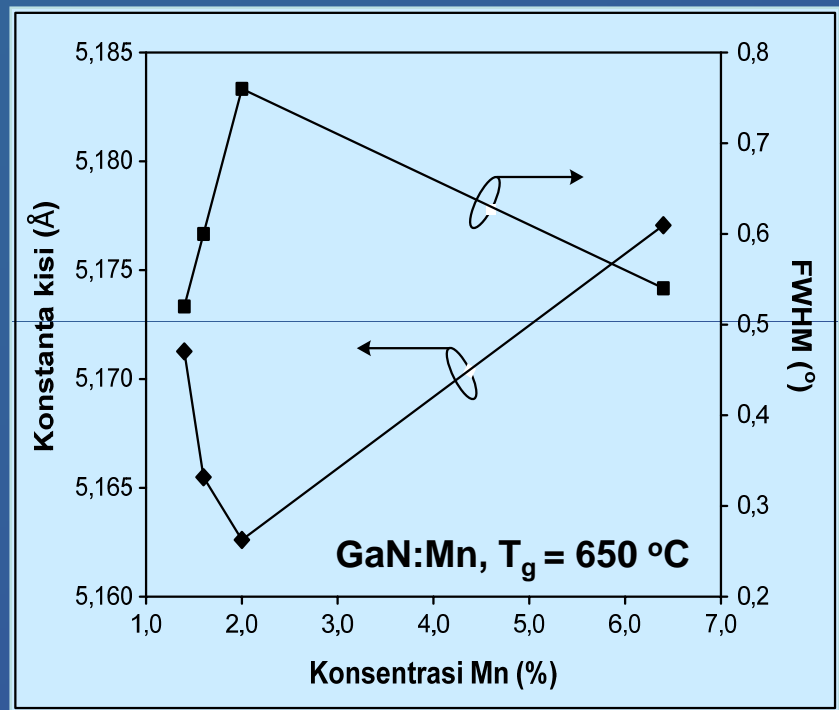


Pola HR-XRD sampel GaN:Mn,
 $T_g = 650 \text{ } ^\circ\text{C}$ dengan $x_{\text{Mn}} = 6,4\%$



Pola HR-XRD sampel GaN:Mn,
 $T_g = 700 \text{ } ^\circ\text{C}$ dengan $x_{\text{Mn}} = 6,4\%$

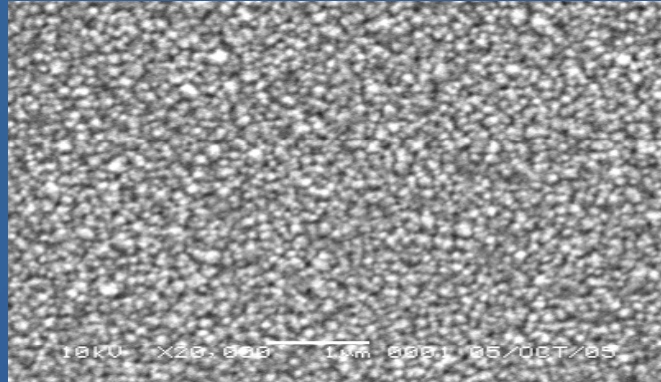
Konstanta Kisi & FWHM



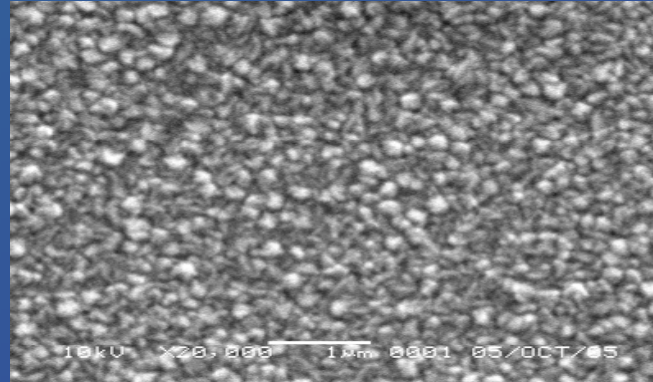
PA-MOCVD $\text{GaN:Mn} \rightarrow (\Delta c)_{\text{maks}} = -0,45 \text{ \% } (x_{\text{Mn}} = 0,02)$

MBE-GaN:Mn ($x_{\text{Mn}} = 0,005$) $\rightarrow (\Delta c)_{\text{maks}} = -0,094\%$ (Chang, dkk., 2005)

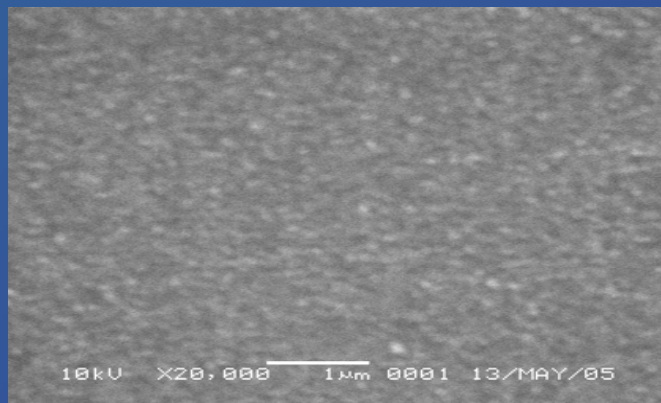
MORFOLOGI PERMUKAAN GaN:Mn



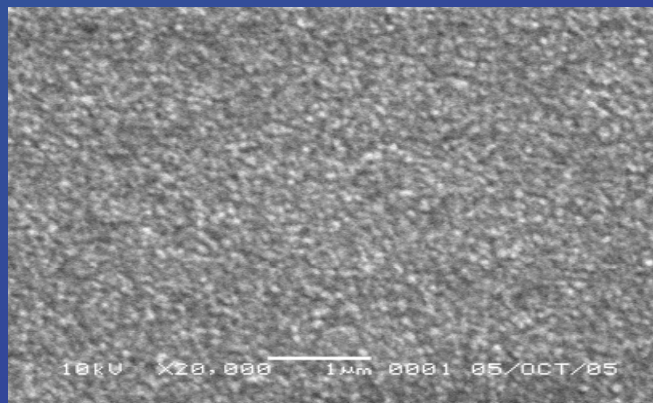
$T_g = 700 \text{ } ^\circ\text{C}$



$T_g = 680 \text{ } ^\circ\text{C}$



$T_g = 650 \text{ } ^\circ\text{C}$

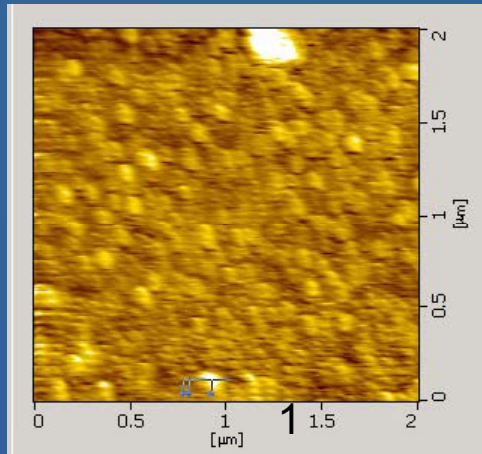


$T_g = 625 \text{ } ^\circ\text{C}$

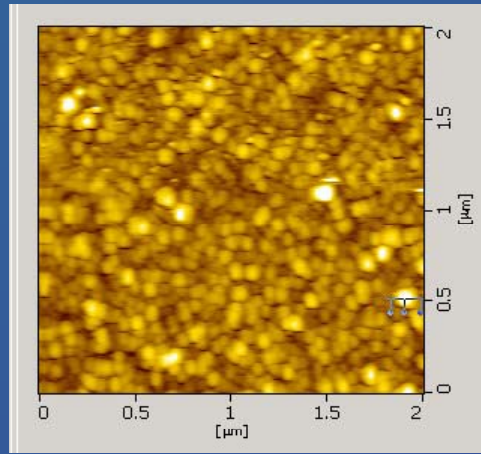
$V/\text{III} = 1100$
 $\text{Mn}/\text{Ga} = 0,4$

Citra SEM

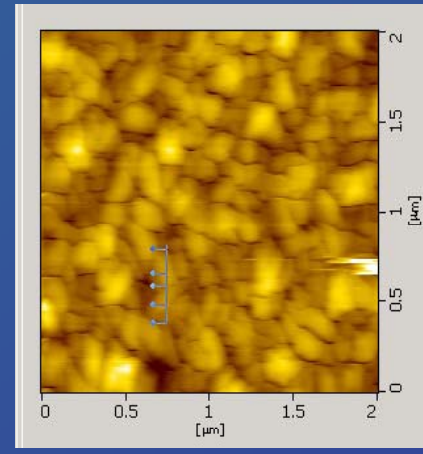
MORFOLOGI PERMUKAAN GaN:Mn



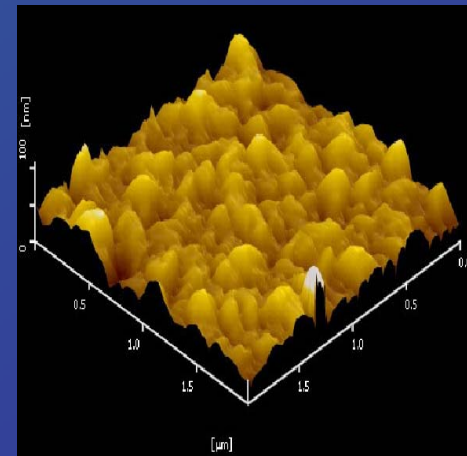
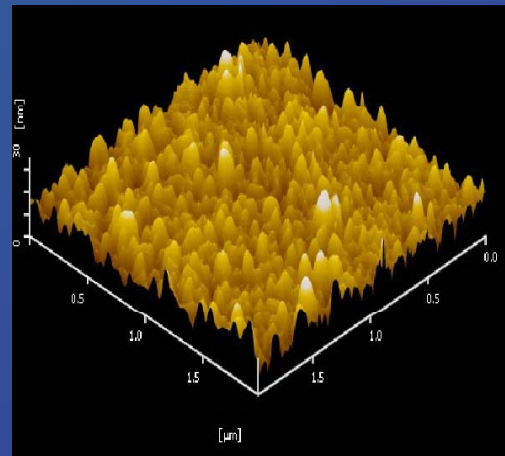
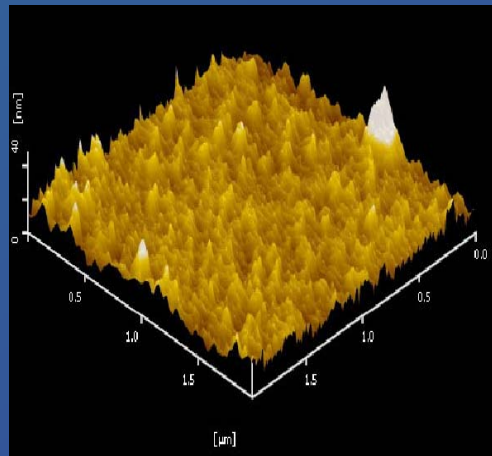
$T_g = 700 \text{ } ^\circ\text{C}$, $x_{\text{Mn}} = 6,4\%$



$T_g = 650 \text{ } ^\circ\text{C}$, $x_{\text{Mn}} = 6,4\%$



$T_g = 680 \text{ } ^\circ\text{C}$, $x_{\text{Mn}} = 2,0\%$

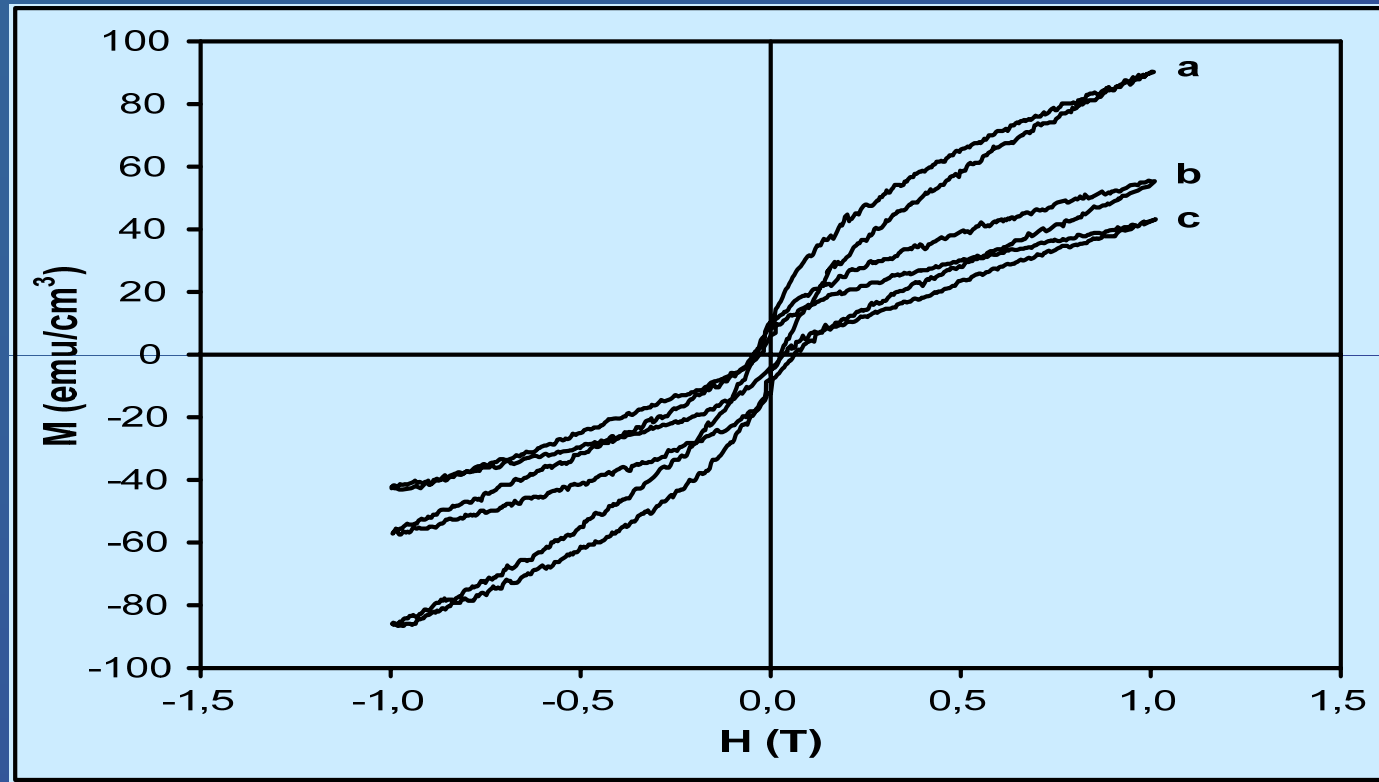


Citra AFM

RMS kekasaran GaN:Mn

| No. | Sampel | T _g (°C) | Konsentrasi Mn (%) | RMS kekasaran (nm) |
|-----|--------|---------------------|--------------------|--------------------|
| 1 | #2A | 680 | 2,0 | 12,93 |
| 2 | #3.1 | 700 | 6,4 | 12,31 |
| 3 | #8.1 | 650 | 1,6 | 6,01 |
| 4 | #10.1 | 650 | 6,4 | 11,53 |

SIFAT MAGNETIK GaN:Mn



$T_g = 700$ °C (a) $x_{\text{Mn}} = 2,5\%$ (b) $x_{\text{Mn}} = 3,2\%$ dan (c) $x_{\text{Mn}} = 2,0\%$.

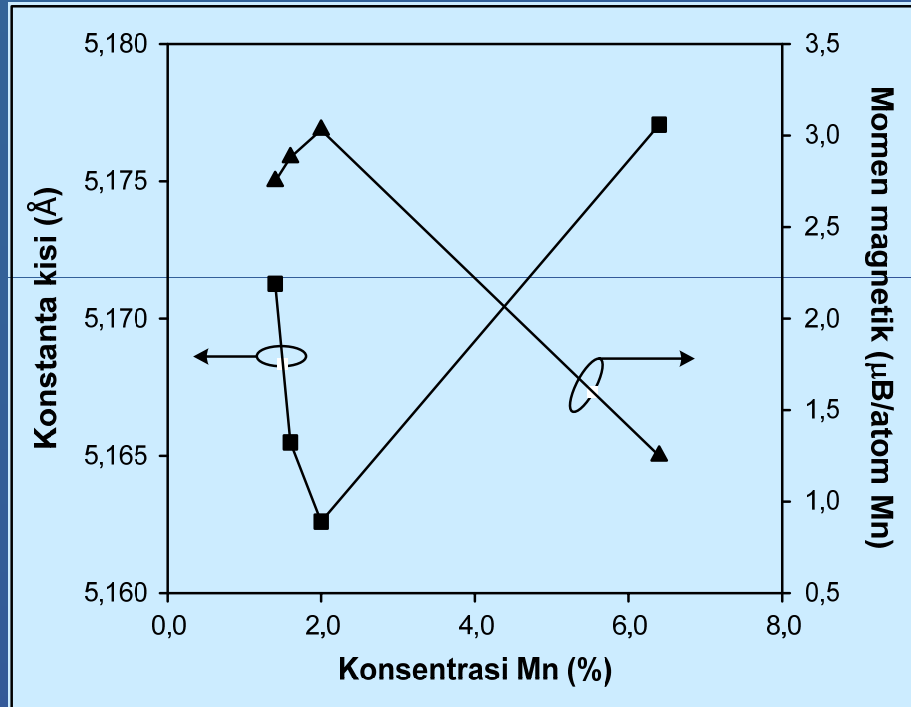
Parameter Magnetik GaN:Mn

| T _g (°C) | Konsentrasi Mn (%) | Magnetisasi remanen M _r (Oe/cm ³) | Magnetisasi saturasi M _s (Oe/cm ³) | Koersivitas magnetik H _c (Oe) |
|---------------------|--------------------|--|---|--|
| 650 | 1,4 | 10,4 | 20,0 | 300 |
| 650 | 1,6 | 10,2 | 21,0 | 500 |
| 650 | 2,0 | 11,7 | 22,5 | 780 |
| 650 | 6,4 | 12,0 | 35,0 | 430 |
| 700 | 2,0 | 11,5 | 20,0 | 700 |
| 700 | 2,5 | 34,4 | 39,0 | 800 |
| 700 | 3,2 | 18,2 | 37,0 | 700 |

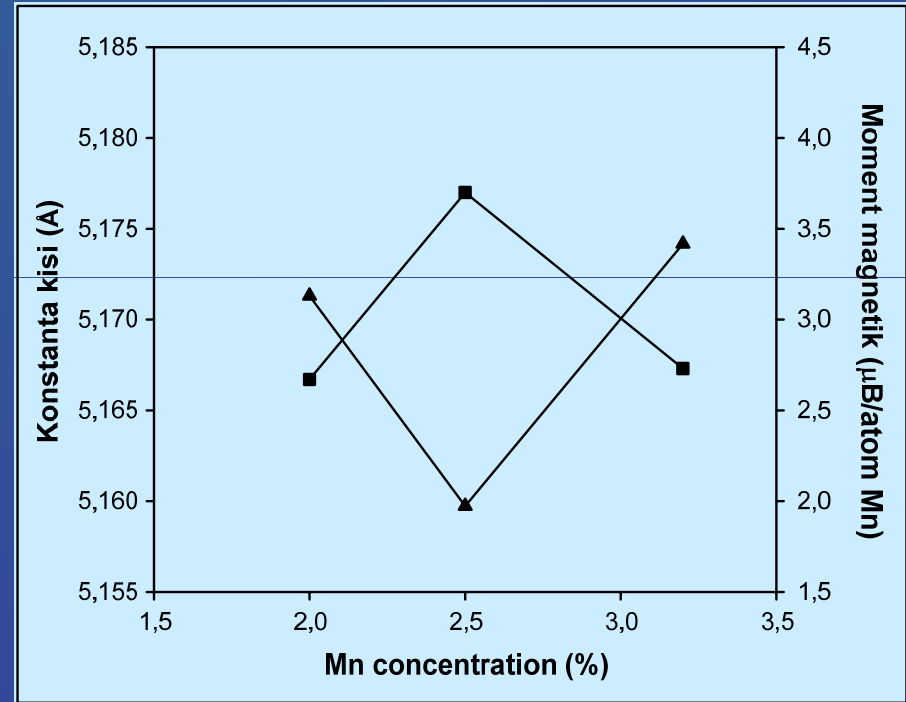
Perbandingan Parameter Magnetik GaN:Mn

| x_{Mn} (%) | H_c (Oe) | M_r (emu/cm ³) | M_s (emu/cm ³) | Metode Penumbuhan | Peneliti, tahun |
|---------------|------------|------------------------------|------------------------------|-------------------|-----------------|
| 0,014 - 0,064 | 300 - 800 | 10,4 - 34,4 | 20,0 - 39,0 | PA-MOCVD | Mulyanti, 2006 |
| 0,006 - 0,023 | 100 - 500 | - | < 30,0 | MOCVD | Reed, 2003 |
| 0,009 - 0,012 | 265 - 1500 | - | - | Implantasi ion | Reed, 2003 |
| 0,012 - 0,015 | - | 3 - 5 | <11,6 | MOCVD | Kane, dkk, 2005 |

Momen Magnetik & Konstanta Kisi GaN:Mn



GaN:Mn, $T_g = 650\text{ }^\circ\text{C}$

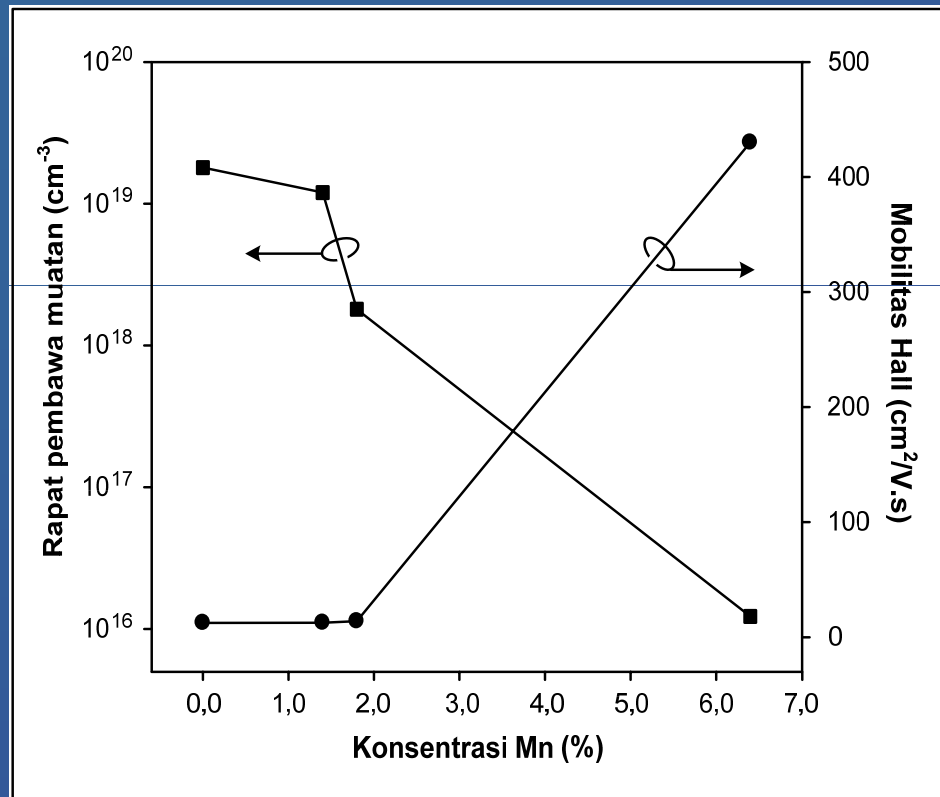


GaN:Mn, $T_g = 700\text{ }^\circ\text{C}$

Perbandingan Momen Magnetik GaN:Mn

| T _g (°C) | x _{Mn} Maksimum (%) | Solubilitas maksimum (%) | Momen magnetik μ_B/Mn | Metode Penumbuhan | Peneliti, tahun |
|------------------------|------------------------------------|--------------------------------|---------------------------------|----------------------|--------------------|
| 700 | 3,2 | 2,5 | 3,7 | PA-MOCVD | Mulyanti, 2006 |
| 650 | 6,5 | 2,0 | 3,1 | | |
| 850 1040 | 2,3 0,6 | 1,8 0,6 | 3,4 1,3 | MOCVD | Reed, 2003 |
| 800-1100 | - | 1,5 1,2 | 1,3 2,9 | MOCVD | Kane, dkk, 2005 |
| 700 | 9,0 | 3,0 | 3,8 | MBE | Thaler, 2004 |

Parameter Listrik GaN:Mn



$$T_g = 650 \text{ } ^\circ\text{C}$$

PA-MOCVD-GaN:Mn ($x=0,02$)

$\rightarrow n = 1,8 \times 10^{19}/\text{cm}^3$ [Mulyanti, dkk., 2006]

MBE-GaN:Mn ($x=0,07$)

$\rightarrow n = 2,4 \times 10^{19}/\text{cm}^3$ [Overberg, dkk., 2002]

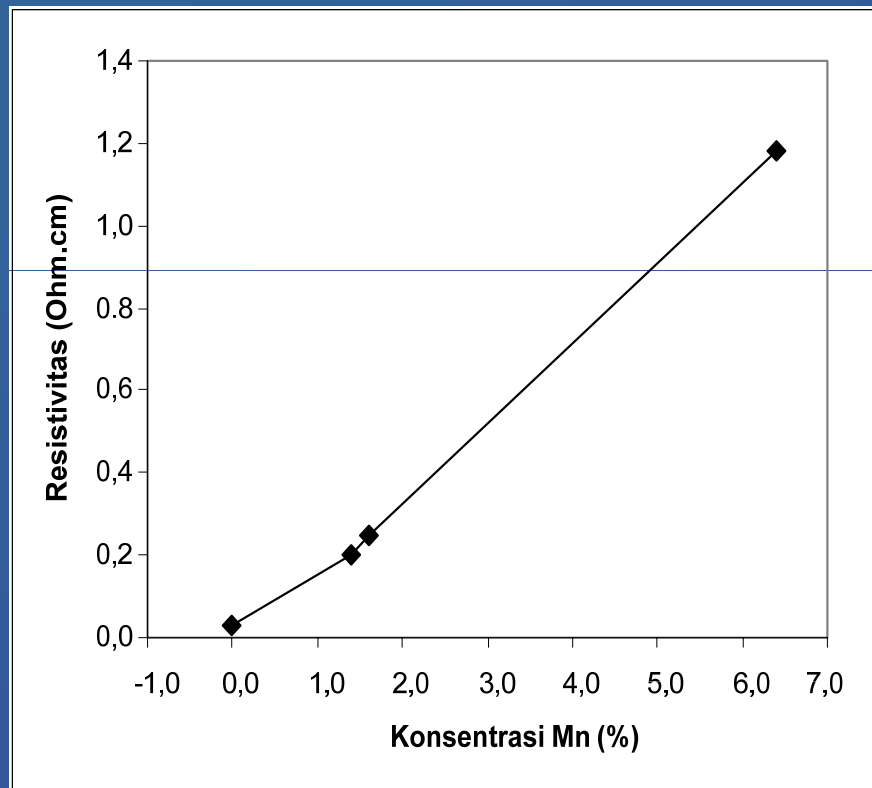
MOCVD-GaN:Mn ($x=0,006$)

$\rightarrow n = 6,0 \times 10^{17}/\text{cm}^3$ [Reed, dkk., 2003]

MOCVD- GaN:Mn ($x=0,015$)

$\rightarrow n = 6,0 \times 10^{17}/\text{cm}^3$ [Kane, dkk., 2005]

Resistivitas GaN:Mn



$$T_g = 650 \text{ } ^\circ\text{C}$$

MBE-GaN:Mn ($x=0,07$)

$\rightarrow \rho = 9,5 \Omega \text{ cm}$ [Lee, dkk., 2004]

MBE-GaN:Mn ($x=0,03 - 0,07$)

$\rightarrow \rho = 2 - 100 \Omega \text{ cm}$ [Polyakov, dkk., 2004]

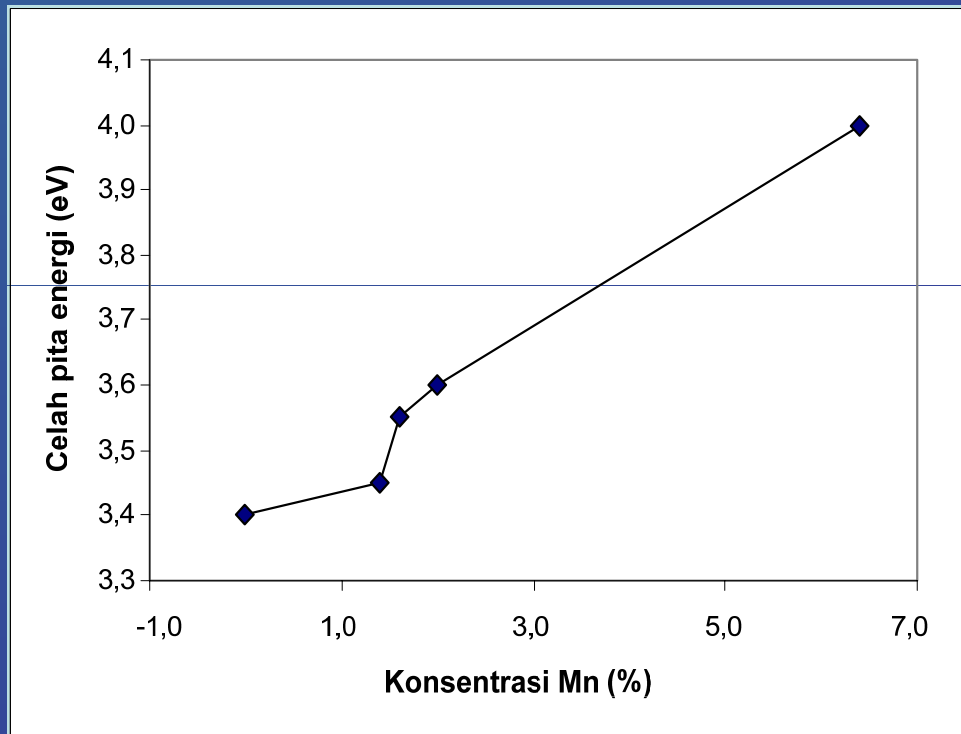
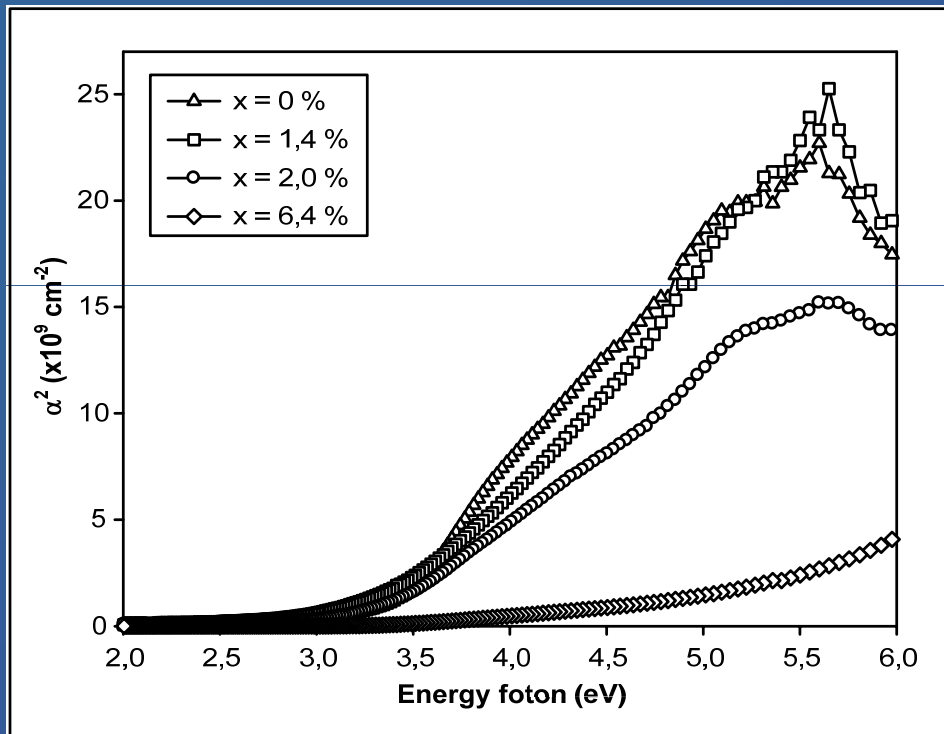
MOCVD-GaN:Mn ($x=0,0018 - 0,006$)

$\rightarrow \rho = 0,073 - 0,107 \Omega \text{ cm}$ [Reed, 2003]

MOCVD-GaN:Mn ($x=0,012 - 0,015$)

$\rightarrow \rho > 100 \Omega \text{ cm}$ [Kane, dkk., 2005]

SIFAT OPTIK GaN:Mn



**makin besar konsentrasi Mn
→ GaN:Mn akan bersifat semi insulator**
(Albrecht, dkk., 2005, Kane, dkk., 2005b).

KESIMPULAN-1

- 1 Simulasi penumbuhan GaN:Mn dengan metode MOCVD → diperlukan $T_g = 900 \text{ } ^\circ\text{C}$ dan substrat harus diletakkan pada $r_{sus} = 3,5 - 4,5 \text{ cm}$
- 2 Dengan PA-MOCVD berhasil ditumbuhkan GaN:Mn di atas substrat safir (0001) dengan $T_g = 625 - 700 \text{ } ^\circ\text{C}$.
- 3 Laju penumbuhan dan inkorporasi Mn dalam GaN:Mn bergantung pada T_g , flux V/III dan fraksi molar Mn/Ga
- 4 Konsentrasi Mn maksimum untuk menghasilkan fase tunggal GaN:Mn
→ $[\text{Mn}] = 6,4 \text{ \%}$ untuk $T_g = 650 \text{ } ^\circ\text{C}$
→ $[\text{Mn}] = 3,2 \text{ \%}$ untuk $T_g = 700 \text{ } ^\circ\text{C}$
- 5 Derajat kekasaran film bergantung T_g dan $[\text{Mn}]$
→ sampel ($T_g = 650 \text{ } ^\circ\text{C}$ & $[\text{Mn}] = 1,4 \text{ \%}$) → derajat kekasaran terendah

KESIMPULAN-2

- 6 Pengerutan kisi tertinggi → pada $T_g = 650 \text{ } ^\circ\text{C}$ → $[\text{Mn}] = 2,0 \%$
→ pada $T_g = 700 \text{ } ^\circ\text{C}$ → $[\text{Mn}] = 2,5 \%$
→ **BATAS SOLID-SOLUBILITY**
→ Di atas harga-harga tsb. → atom-atom Mn tidak lagi mensubstitusi Ga
- 7 Semua sampel GaN:Mn → histeresis pada T_R → ferromagnetik, $T_c > T_R$
- 8 Batas *solid-solubility* → $T_g = 650 \text{ } ^\circ\text{C}$ & $[\text{Mn}] = 2,0 \%$ → $M = 3,1 \mu_B/\text{Mn}$
→ $T_g = 700 \text{ } ^\circ\text{C}$ & $[\text{Mn}] = 2,5 \%$ → $M = 3,7 \mu_B/\text{Mn}$
- 9 Semua film tipis GaN:Mn yang ditumbuhkan → tipe-*n*
→ konsentrasi pembawa turun jika $[\text{Mn}]$ bertambah
→ mobilitas pembawa naik jika $[\text{Mn}]$ bertambah
→ Harga resistivitas film GaN:Mn bertambah jika $[\text{Mn}]$ bertambah.
- 10 Cela pita energi bertambah jika $[\text{Mn}]$ bertambah.

KONTRIBUSI ILMIAH

- ❖ Dengan metode PA-MOCVD
 - ditumbuhkan film tipis GaN:Mn dengan $T_g = 625 - 700 \text{ } ^\circ\text{C}$
(metode MOCVD konvensional, $T_g = 850 - 1100 \text{ } ^\circ\text{C}$)
- ❖ Film tipis GaN:Mn memiliki fase tunggal dengan $[\text{Mn}]_{\text{maks}} = 6,4 \text{ \%}$
(MOCVD konvensional, $[\text{Mn}]_{\text{maks}} = 2,3 \text{ \%}$).
- ❖ **Harga momen magnetik per atom Mn yang dihasilkan $\rightarrow 3,7 \mu\text{B}$**
(MOCVD konvensional $\rightarrow 3,4 \mu\text{B}$)
- ❖ Sumber MO untuk doping Mn, yaitu CpMnT belum pernah dilaporkan
→ bersifat *volatile* pada $T_R \rightarrow$ bubbler pada T_R

DAFTAR PUBLIKASI (1)

1. **Budi Mulyanti**, A. Subagio, H. Sutanto, F. S. Arsyad, P. Arifin, M. Budiman, Z. Jamal , dan U. Hashim dan M. Barmawi (2006): Effect of Temperature and Mn incorporation on The Growth of GaN:Mn Thin Films Using Plasma Assisted MOCVD, *Proceeding ITB* (dalam proses review)
2. **Budi Mulyanti**, A. Subagio, E. Supriyanto, F. S. Arsyad, P. Arifin, M. Budiman, Mujamilah, dan M. Barmawi (2006): N-type Conductivity in Wurtzite Mn-doped GaN Thin Films Grown by Plasma Assisted MOCVD, *Journal of Mathematics and Science* (segera dipublikasikan).
3. **Budi Mulyanti**, Mujamilah, A. Subagio, F. S. Arsyad, P. Arifin, M. Budiman, Sukirno, dan M. Barmawi (2006): Sifat Struktur dan Sifat Magnetik Film Tipis GaN:Mn yang ditumbuhkan dengan Plasma Assisted MOCVD, *JUSAMI* (akan dipublikasikan).
4. **Budi Mulyanti**, A. Subagio, H. Sutanto, F. S. Arsyad, P. Arifin, M. Budiman, dan M. Barmawi (2005): Effect of V/III Ratio on Mn Incorporation into GaN:Mn Thin Films Deposited by Plasma Assisted MOCVD, *Proc. of The 8th International Conference on Quality in Research (QIR)*, MM11-09
5. **Budi Mulyanti**, A. Subagio, H. Sutanto, F. S. Arsyad, P. Arifin, M. Budiman, dan M. Barmawi (2005): Temperature Dependence of Mn Incorporation into GaN:Mn Deposited Using Plasma Assisted MOCVD, *Proc. of Asian Physics Symposium (APS)*, 73-77.
6. F.Suryani, **B. Mulyanti**, A. Supu, P. Arifin, M. Budiman, dan M.Barmawi (2005) The Dependence of Probability Distribution of Electron and Hole Fermi-Dirac Function on Size Fluctuation of GaN Quantum Dot Laser, *Proc. of The 8th International Conference on Quality in Research (QIR)*, OL2-03

DAFTAR PUBLIKASI (2)

6. F.Suryani, **B. Mulyanti**, A. Supu, P. Arifin, M. Budiman, dan M.Barmawi (2005) The Dependence of Probability Distribution of Electron and Hole Fermi-Dirac Function on Size Fluctuation of GaN Quantum Dot Laser, *Proc. of The 8th International Conference on Quality in Research* (QIR), OL2-03
7. H. Sutanto, A. Subagio, **Budi Mulyanti**, F. S. Arsyad, P.Arifin, M. Budiman, dan M. Barmawi (2005): Influence of the Al concentration on Electrical Properties of AlGaN Thin Films Grown on Si (111) Substrate by PA MOCVD, *Proc. of Asian Physics Symposium* (APS), 204-207
8. F.S. Arsyad, **Budi Mulyanti**, H. Sutanto, A. Subagio, H. Saragih, E. Supriyanto, P. Arifin, dan M. Barmawi ((2005): Study of Crystal Structure and Surface Morphology of AlGaN Thin Film Deposited by PA MOCVD, *Proc. of Asian Physics Symposium* (APS), 438-441
9. **Budi Mulyanti**, Fitri S. Arsyad, M. Barmawi, Sri Jatno, P.Arifin, and M. Budiman (2004): Effect of Growth Parameters on Deposition Rate of $Ga_{1-x} Mn_x N$ Thin Films Deposited Using Vertical Axisymmetric MOCVD Reactor, *Prosiding Seminar MIPA IV* , 41-44
10. **Budi Mulyanti**, F. S. Arsyad, P.Arifin, M. Budiman, M.Barmawi, dan Sri Jatno W (2004): Depedence of $Ga_{1-x} Mn_x$ Thin Films Growth on Substrate Temperature in Vertical MOCVD Reactor by Numerical Simulation, *Indonesian Journal of Physics*, **15**, 3, 59-63
11. Fitri S. Arsyad, **B. Mulyanti**, M. Budiman, Sri Jatno, P. Arifin, dan M. Barmawi (2004): Pengaruh Geometri QD Kerucut Terhadap Probabilitas Distribusi Energi Transisi Optik, *Prosiding Seminar MIPA IV*, 206-208
12. **Budi Mulyanti**, F.S. Arsyad, Soegianto S, M. Barmawi, dan Sri Jatno (2002): Simulasi Numerik Reaktor MOCVD Dengan Menggunakan FEMLAB, *Kontribusi Fisika Indonesia*, **13**,2, 1-6

PRESENTASI DI SEMINAR DAN KONFERENSI

1. **Budi Mulyanti**, A. Subagio, H. Sutanto, P.Arifin, M. Budiman, , dan M. Barmawi, (2006): Study of Mn Incorporation Into GaN:Mn Magnetic Semiconductor Thin Films Prepared by Plasma Assisted MOCVD, *International Conference on Nanoscience and Nanotechnology*, (ICONN) , Brisbane, 3-7 Juli 2006
2. **Budi Mulyanti**, Fitri S. Arsyad, M. Barmawi, Sri Jatno, P.Arifin, and M. Budiman (2003): Simulation of $Ga_{1-x}Mn_xN$ Growth in the MOCVD Reactor, *The Annual Physics Seminar*, Bandung
3. Fitri S. Arsyad, **B. Mulyanti**, M. Budiman, Sri Jatno, P. Arifin, and M. Barmawi (2003): Analysis of Bias Effect to Electrical Properties of GaN Quantum Dots Based Laser Diode Using FEMLAB, *The Annual Physics Seminar*, Bandung
4. Fitri S. Arsyad, **B. Mulyanti**, M. Budiman, Sri Jatno, P. Arifin, dan M. Barmawi (2004): Effect of Shape and Size Fluctuation on Inhomogeneous Line of Broadening to GaN QD Based Laser, *The Annual Physics Seminar*, Bandung
5. **Budi Mulyanti**, Fitri S. Arsyad, H. Saragih, M. Barmawi, Sri Jatno, P. Arifin, and M. Budiman (2004): Effect of Growth Temperature on TiO_2 Deposited Using MOCVD, *The Annual Physics Seminar*, Bandung